

## اندازه‌گیری و مدل‌سازی مقاومت دو رقم سیب‌زمینی به عبور جریان هوا

### فرزاد گودرزی\*

استادیار بخش تحقیقات فنی و مهندسی، مرکز تحقیقات و آموزش کشاورزی و منابع طبیعی استان همدان، سازمان

تحقیقات آموزش و ترویج کشاورزی، همدان، ایران

تاریخ دریافت: ۱۳۹۸/۹/۶؛ تاریخ پذیرش: ۱۴۰۰/۵/۲۵

### چکیده

میزان افت فشار استاتیک هوا در حال گذر از خلال توده محصولات کشاورزی یکی از داده‌های اساسی برای انتخاب دمنده مورد استفاده در سیستم‌های هواده‌ی یا خشک کردن آنها است. در این مطالعه با استفاده از یک دستگاه شیوه‌ساز که متشکل از بخش‌های کمپرسور هوا، دبی‌سنجد جریان هوا، مخزن استوانه‌ای شکل و یک فشار سنج U شکل بود، میزان افت فشار استاتیک هوا در توده‌هایی از دو رقم سیب‌زمینی آگریا و مارفونا اندازه‌گیری و در قالب مدل ریاضی Shedd، روابط رگرسیونی آنها با سنجه‌های عمق توده، ابعاد غده، درصد ناخالصی و درصد رطوبت توده تعریف شد. بر این اساس با افزایش سرعت جریان هوا، میزان افت فشار استاتیک هوا افزایش می‌یابد. با افزایش هر ۲۵ سانتی‌متر به عمق توده محصولات سیب‌زمینی آگریا، مارفونا، افت فشار استاتیک به ترتیب ۱/۴۹ و ۱/۵۳ برابر می‌شود. با افزایش هر ۲ درصد خاک و دیگر ناخالصی‌های همراه توده محصول، میزان افت فشار هوا در توده سیب‌زمینی آگریا و مارفونا به ترتیب ۱/۳۶ و ۱/۳۳ برابر می‌شود. در دبی یکسان جریان، توده‌های سیب‌زمینی با محتوای رطوبت بالاتر، افت فشار استاتیک هوا کمتری را نشان می‌دهند. در شرایط یکسان، افت فشار هوا در توده سیب‌زمینی رقم آگریا ۴ تا ۶ درصد بیشتر از مارفونا است.

### واژه‌های کلیدی

افت فشار استاتیک، رطوبت، سرعت جریان، سیب‌زمینی، عمق

سیستم‌های هواده‌ی محصولات کشاورزی که در فرایندهای سردکردن، انبارکردن و خشک کردن مورد استفاده قرار می‌گیرد، تعیین میزان مقاومت توده به عبور جریان هوا و انتخاب دمنده مناسب است (Bala, 2016; Cargill & Price, 1995). دمنده مهمترین بخش یک سیستم خشک‌کن یا هواده‌ی به حساب می‌آید. وظیفه آن عبور دادن هوا از مجرای موجود در لابلای ذرات متشكله توده

### مقدمه

هدف اصلی از اجرای فرایندهای تکنیکی خشک‌کردن و تهويه محصولات کشاورزی بهبود پایداری و افزایش قابلیت ماندگاری آنها در طول مدت انبارداری است. زیرا محصول با رطوبت بالا و بدون تهويه هوا محل نگهداري، نمی‌تواند بدون صدمه و افت کیفیت برای مدت طولانی انبار شود. یکی از اصول اساسی در طراحی خشک‌کن‌ها و



رطوبت اثر معنی‌داری بر مقاومت به عبور جریان هوا داشته، و دانه‌های کوچک‌تر مقاومت بیشتری ایجاد می‌کنند. محققین مختلف به بررسی اثر جهت جریان بر مقاومت به عبور جریان هوا در محصولات مختلف پرداخته و نشان دادند که مقاومت در حالت افقی تا ۵۰٪ بیشتر از هنگامی است که جهت جریان عمودی باشد (Teixeira *et al.*, 2015; ABE Standards, 2007; Bern & Charity, 1998) (Shahbazi & Rajabipour, 2007) مقاومت توده سیب زمینی رقم آزادکس را برابر عبور جریان هوا اندازه‌گیری و نشان دادند که غده‌های بزرگ‌تر با وزن بیش از ۱۲۰ گرم نسبت به نمونه‌های با وزن کمتر از ۱۲۰ گرم تا ۴۱ درصد مقاومت کمتری ایجاد می‌کنند. لوب و همکاران (Lope *et al.*, 2003) با بررسی مقاومت به عبور جریان هوا در چوندر قند دریافتند که مقاومت به عبور جریان هوا در غده‌های کوچک ۱/۹ برابر بیشتر از غده‌های بزرگ است. همچنین با تغییر الگوی جهت وزش جریان از حالت افقی به عمودی، افت فشار استاتیک ۸۳ درصد کمتر می‌شود.

آدینات و همکاران (Adinath *et al.*, 2019) نشان دادند با افزایش شدت جریان هوا و عمق توده در حال هوادهی بر میزان افت فشار استاتیک هوا افزوده می‌شود. همچنین همانند سایر محصولات غده‌ای رابطه shedd مناسب‌ترین مدل برای بررسی و تخمین تغییرات افت فشار در توده پیاز است.

میزان افت فشار جریان هوا در توده پیازهای درجه بنده شده نسبت به توده‌های درجه بنده نشده برای دو وضعیت افقی و عمودی جریان هوا به ترتیب ۴۳ و ۳۳ درصد بیشتر است.

محصول است. عبور هوا از این مجاری سبب می‌شود رطوبت، درجه حرارت و اکسیژن موجود در سراسر توده در سطح دلخواه باقی مانده و از بروز آسیب به محصول جلوگیری شود. هنگامی که هوا به درون توده محصول رانده می‌شود، باید از فضاهای باریک و خلل و فرج بین ذرات عبور کند. در این هنگام، بین هوا در حال عبور و سطح خارجی ذرات اصطکاک پدید می‌آید. این اصطکاک، مقاومتی در برابر عبور هوا پدید می‌آورد. بدین سبب لازم است دمنده دارای چنان قدرتی باشد که بتواند بر مقاومت اصطکاکی موجود در مسیر، غلبه کند. از این نیرو به نام فشار استاتیکی یاد می‌شود (McCabe *et al.*, 2018).

در حقیقت میزان فشار استاتیکی توده محصول یکی از سنجه‌های اساسی در محاسبه قدرت مورد نیاز برای موتور دمنده است. تخمین قدرت دمنده بدون انجام محاسبات علمی، آسیب محصول تحت فرایند و یا مصرف بیش از نیاز انرژی توسط دمنده را در پی خواهد داشت.

سابقه مطالعه و تحقیق پیرامون مقاومت محصولات کشاورزی به عبور جریان هوا به ۷۰ سال قبل برمی‌گردد. یکی از نخستین مطالعات توسط استیرنیمن (Stirniman & Bates, 1931) روی برنج انجام شد. وی دانه‌های کوتاه برنج را مورد مطالعه قرار داد و رابطه افت فشار با سرعت جریان هوا و عمق محصول را برای این محصول به دست آورد. شد (Shedd, 1953) مقاومت به عبور جریان هوا را برای تعدادی از محصولات اندازه‌گیری و مدلی برای تعیین افت فشار هوا در این پروسه ارائه نمود. جکائینفا (Jekayinfa, 2006) اثر درصد رطوبت و اندازه دانه‌های لوبیا را بر مقاومت به عبور جریان هوا مورد مطالعه قرار داده و گزارش کرد که درصد

## مواد و روش‌ها

در این مطالعه دو توده سیب‌زمینی رقم آگریا و مارفونا، مرکب از ۲۳ درصد غده‌های ریز (با قطر کمتر از ۵ سانتی‌متر)، ۵۳ درصد متوسط (با قطر ۵ تا ۸/۵ سانتی‌متر) و ۲۴ درصد غده‌های درشت (با قطر بیشتر از ۸/۵ سانتی‌متر) مورد بررسی قرار گرفت. برای اندازه‌گیری خواص بیوفیزیکی مورد نظر، از هر دسته ماده آزمایشی تعداد ۲۰ آزمون به شکل تصادفی انجام و میانگین آنها به عنوان عدد نهائی ویژگی مورد نظر لحاظ شد. سنجش رطوبت نمونه‌ها به روش گرمخانه و در دمای ۱۲۱ درجه سلسیوس انجام شد (Horwits, 2000). درصد تخلخل توده توسط رابطه زیر محاسبه شد (Dobrzański & Rybczyński, 2014)

$$\%Pr = 100 \times ((\rho_a - \rho_i) / \rho_a) \quad (1)$$

که در آن،  
 $Pr$  = نشانگر درصد تخلخل توده؛  $\rho_a$  = متوسط جرم حجمی غده‌ها و  $\rho_i$  = معرف جرم حجمی توده سیب‌زمینی.

### روش اندازه‌گیری افت فشار استاتیک:

برای سنجش افت فشار استاتیک جریان هوا حین عبور از خلال هر توده آزمایشی از دستگاهی که طرح آن در شکل ۱ نمایش داده شده است (Lope et al., 2003; Bala, 2016; Audu et al., 2018) استفاده شد. در این دستگاه یک کمپرسور به قدرت ۱۰ اسب بخار هوای فشرده لازم برای آزمایش را تولید می‌کرد. با عبور دادن هوا از یک روتامتر (ساخت شرکت آزمون متمم ایران با توانایی اندازه‌گیری دبی ۲۰ تا ۲۰۰۰ لیتر در دقیقه) و توسط

بر اساس نتایج مطالعات پیشین اگر میزان سطح سوراخ موجود در صفحه کف انباره که برای نگهداشتن محصول نصب می‌شود از ۴۰ درصد کل سطح صفحه بیشتر باشد، مقاومت این بخش در برابر عبور جریان تا حد زیادی کاهش و تقریباً قابل صرف نظر خواهد بود (Audu et al., 2018; ABE Standards, 2007).

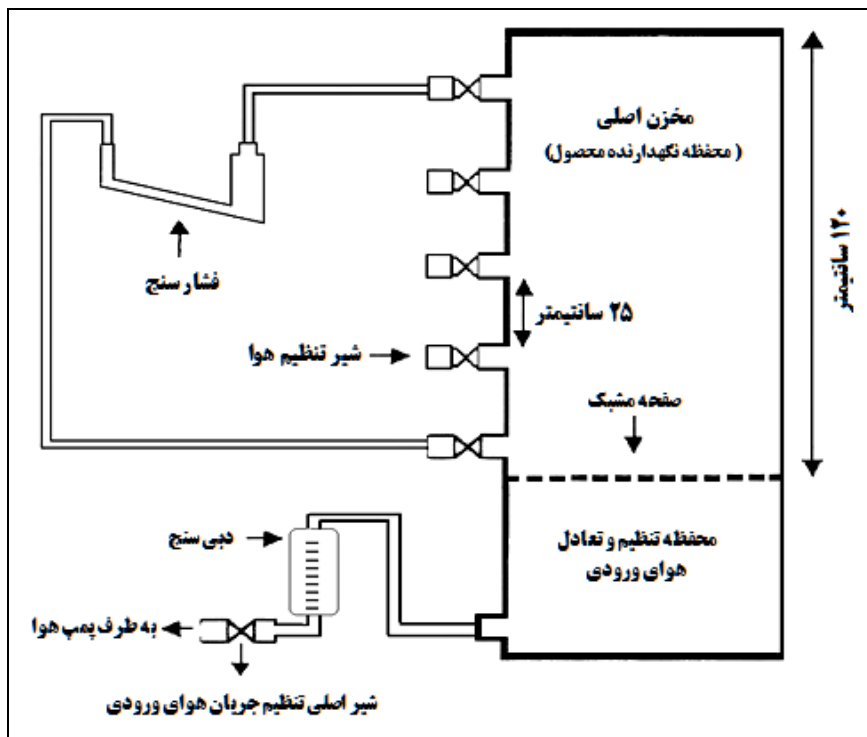
در محصولات کشاورزی فشار استاتیکی تابعی از ویژگی‌های محصول و هوای در حال گذر است. اندازه‌گیری درصد رطوبت، شکل ظاهری و خصوصیات سطح خارجی ذرات، درصد ناخالصی و مواد زائد موجود در توده و عمق آن از مهمترین ویژگی‌های محصول است که بر میزان افت فشار استاتیکی هوا مؤثر است. برای مثال وجود ۵ درصد ناخالصی در توده سیب‌زمینی انبار شده در جعبه، افت فشار استاتیک هوا را تقریباً ۲ برابر می‌کند (Olsen & Kleinkopf, 2020). ویژگی‌های اثرگذار هوای در حال گذر بر فشار استاتیکی نیز عبارتند از: سرعت، ویسکوزیته، درصد رطوبت، دانسیته و جهت جریان هوا؛ که در این بین عمق توده محصول، سرعت و (McCabe et al., 2018; ABE Standards, 2007; Shmyryova, 2018).

از آنجا که حدود ۶۵ درصد از کل تولید حدود ۵ میلیون تنی سیب‌زمینی کشور در ابتدای فصل پاییز برداشت و راهی انبارهای نگهداری می‌شود (Anon, 2020) آگاهی از ویژگی‌های توده برای انتخاب و مدیریت بهینه سیستم تهویه این انبارها بسیار مهم است. بر این اساس در این مقاله به اندازه‌گیری میزان افت فشار هوا در توده سیب‌زمینی رقم آگریا و مارفونا و رابطه این افت با برخی خصوصیات فیزیکی مهم توده پرداخته شده است.

سنجهش اثر درصد مواد خارجی همراه غده بر میزان افت فشار هوا از طریق افزودن مواد خارجی شامل خاک و خاشاک به میزان  $0, 2, 4$  و  $6$  درصد وزن خالص توده آزمایشی، به توده وارد به مخزن دستگاه اندازه‌گیری شد. اندازه‌گیری اثر عمق توده‌های آزمایشی بر مقاومت به عبور جریان هوا، در اعماق  $25, 50, 75$  و  $100$  سانتی‌متری توده‌ها انجام گرفت. دو آزمون فوق برای هر دو نوع رقم سیبزمینی در شرایط یکسان شامل رطوبت نسبی  $(\pm 0.87\%)$  و دمای  $9 \pm 1$  درجه سلسیوس توده‌های آزمایشی و سرعت جریان هوا  $0.08$  تا  $0.09$  متر بر ثانیه انجام گرفت. برای مطالعه اثر درصد رطوبت محصولات مورد آزمایش بر میزان افت فشار هوا در حال عبور از توده‌های مورد مطالعه، آزمایشاتی با سیبزمینی‌های دارای رطوبت‌های  $64$  تا  $88$  درصد (با فواصل  $4$  درصد) در شرایط سرعت جریان  $0.08$  تا  $0.09$  متر بر ثانیه، عمق  $100$  cm مخزن و بدون مواد خارجی انجام شد (Jekayinfa, 2006; Park *et al.*, 2013).

برای هر نوبت اندازه‌گیری، محفظه دستگاه از توده مورد نظر تا ارتفاع معین پر شد. سپس مانومتر به شیر متناظر ارتفاع متصل و جریان هوا برقرار می‌شد. در این حالت سایر شیرها بسته بود. این عمل برای هر  $4$  ارتفاع مورد سنجش انجام می‌گرفت. کلیه آزمایشات در  $3$  تکرار و  $3$  برداشت از هر تکرار انجام شد. برای هر تکرار مخزن دستگاه تخلیه و دوباره پر شد. میانگین هر  $3$  برداشت به عنوان نتیجه متناظر برای هر تکرار ثبت می‌شد.

شیر گازی موجود در مسیر حجم هوای عبوری در واحد زمان به مقدار دلخواه تنظیم می‌شد. هوا با دبی تنظیم شده، برای ثبیت و یکنواخت کردن فشار به انباره‌ای به ارتفاع  $50$  سانتی‌متر واقع در زیر مخزن اصلی دستگاه و هم قطر با آن وارد شد. بین این بخش و مخزن اصلی صفحه مشبكی قرار داده شد تا علاوه بر نگهداری محصول (به عنوان کف مخزن اصلی)، یکنواختی توزیع جریان هوا در سطح مقطع توده را فراهم کند. در کل این صفحه سوراخ‌هایی به قطر  $4$  میلی‌متر تعییه شد تا مجموع سطح سوراخ‌ها، معادل  $50$  درصد کل سطح صفحه باشد. این مقدار سطح سوراخ شده قابل صرف نظر بودن مقاومت صفحه در برابر عبور جریان هوا را تضمین می‌کند (ABE Standards, 2007). سرعت جریان هوا از تقسیم دبی بر سطح مقطع آن به دست  $65$  می‌آید. مخزن اصلی دستگاه دارای قطر داخلی  $65$  و ارتفاع  $120$  سانتی‌متر بود. مطابق شکل ۱ بر روی بدنه مخزن  $5$  سوراخ هر یک حاوی یک شیر گازی که فواصل آنها از قاعده مخزن (صفحه مشبك)  $30, 35, 40, 45$  و  $50$  سانتی‌متر بود تعییه شد. با مبنای قرار دادن سوراخ موجود در ارتفاع  $5$  سانتی‌متری، و بوسیله یک فشار سنج U شکل شیبدار با دقت  $2/5$  پاسکال اختلاف فشار جریان هوا هنگام عبور از توده محصول در عمق‌های  $25, 50, 75$  و  $100$  سانتی‌متری محاسبه شد. قبل از آغاز آزمایش‌ها و برای اطمینان از عدم وجود هرگونه نشتی هوا، دستگاه با فشار هوا  $10$  کیلو پاسکال تحت آزمون قرار گرفت.



شکل ۱- شماتی دستگاه بکار رفته برای اندازه‌گیری افت فشار هوا در توده‌های آزمایشی

هدف از این مطالعه به دست آوردن ضرایب B و A به شکلی است که معادله نهایی بالاترین ضریب هبستگی را با نقاط به دست آمده در منحنی (افت فشار - سرعت) داشته باشد. در این معادله میزان افت فشار به ازای واحد عمق بستر ( $\Delta P / L$ ) به دست می‌آید.

### نتایج و بحث

**اثر عمق توده بر مقاومت به عبور جریان هوا**

نتایج حاصل از بررسی اثر عمق توده دو رقم سیب زمینی (آگریا و مارفونا) بر مقاومت در برابر عبور جریان هوا در سرعت‌های مختلف در جداول ۱ و ۲ و شکل‌های ۲ و ۳ آورده شده است. جدول تجزیه واریانس ۱ معنی‌دار بودن اثر تیمارهای سرعت جریان هوا و عمق توده بر میزان افت فشار استاتیک هوا را تأیید می‌کند. بر این اساس با افزایش عمق

رابطه بین افت فشار و هر یک از فاکتورهای مورد اشاره به کمک طرح کاملاً تصادفی و در غالب آزمایش فاکتوریل مطالعه شد. به دلیل دقیق و عمومیت بیشتر، برای بیان رابطه افت فشار - سرعت جریان هوا، یا همان مقاومت به عبور جریان هوا از رابطه ریاضی زیر استفاده شد (Shedd, 1953). ضرایب این مدل ریاضی به کمک نرم افزار SPSS ویرایش ۲۰۱۶ تعیین شد:

$$\Delta P / L = A(V)^B \quad (2)$$

که در آن،  $A$  = ثابت‌های ویژه محصول است که از آنالیز رگرسیونی به دست می‌آید؛  $V$  = سرعت جریان هوا بر حسب متر بر ثانیه؛  $L$  = عمق توده بر حسب متر؛  $\Delta P$  = افت فشار بر حسب پاسکال.

مارفونا به ترتیب ۱/۴۹ و ۱/۵۳ برابر شد. در عمق ثابت، با افزایش دبی جریان بر میزان مقاومت توده به عبور جریان هوا افزوده شد. این افزایش روندی نزولی داشت و از ۵۱ درصد برای سرعت‌های پایین تا ۲۵ درصد برای دبی‌های بالا متغیر بود.

میزان ضرایب رگرسیونی به دست آمده برای مدل منتخب در اعماق مختلف هر دو رقم سیب‌زمینی در شکل‌های ۲ و ۳ آورده شده است.

توده در هر دو رقم سیب زمینی آگریا و مارفونا بر میزان مقاومت آنها به عبور جریان هوا به شکل معنی‌داری افزوده شد. با این حال این افزایش روندی نزولی داشت. به عبارت دیگر در هر عمق، درصد افزایش افت فشار نسبت به درصد متناظر در عمق ماقبل، کمتر بود. به طور میانگین با افزایش هر ۲۵ سانتی‌متر به عمق توده آزمایشی، میزان افت فشار هوای در حال گذر برای سیب‌زمینی رقم آگریا و

جدول ۱ - جدول تجزیه واریانس اثر سرعت جریان هوا، رقم محصول و عمق توده

## سیب‌زمینی بر میزان افت فشار استاتیک جریان هوا

میانگین مربعات افت فشار استاتیک		درجه آزادی	منابع تغییرات
رقم مارفونا	رقم آگریا		
۱۰۱۳۱/۳*	۱۰۱۷۹/۶*	۵	سرعت جریان هوا (A)
۳۷۱۵/۸*	۳۷۲۲/۵*	۳	درصد ناخالصی (B)
۱۲۱۱۳/۲*	۱۱۹۰۰/۹*	۳	عمق توده (C)
۴۸/۱	۵۵/۶	۱۵	A×B
۸۰/۵*	۷۵/۴*	۱۵	A×C
۳/۶	۲/۴	۹	B×C
۲/۹	۲/۲	۴۵	A×B×C
۲۴/۳۵	۲۲/۷۱	۱۳۴	اشتباه

\*: بین میانگین‌ها در سطح ۵٪ اختلاف معنی دار مشاهده شده است.

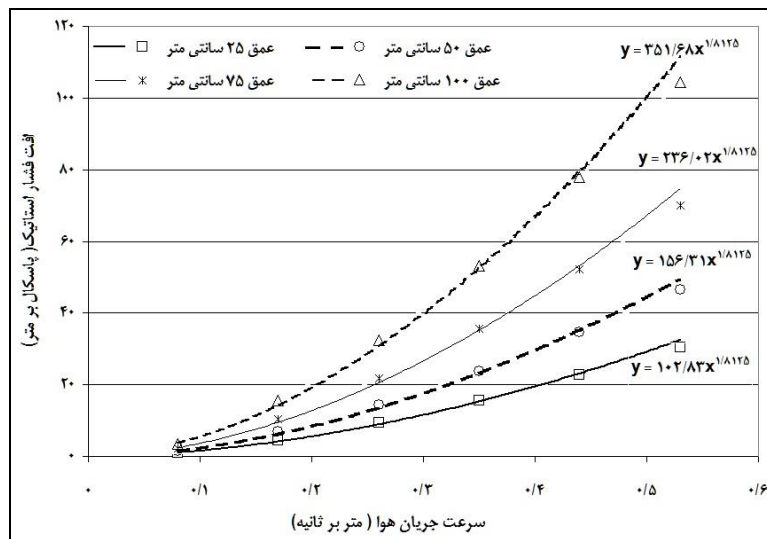
جدول ۲ - مقایسه میانگین میزان افت فشار استاتیک هوا در سطوح مختلف

## عمق توده و سرعت جریان هوا در دو رقم سیب‌زمینی آگریا و مارفونا

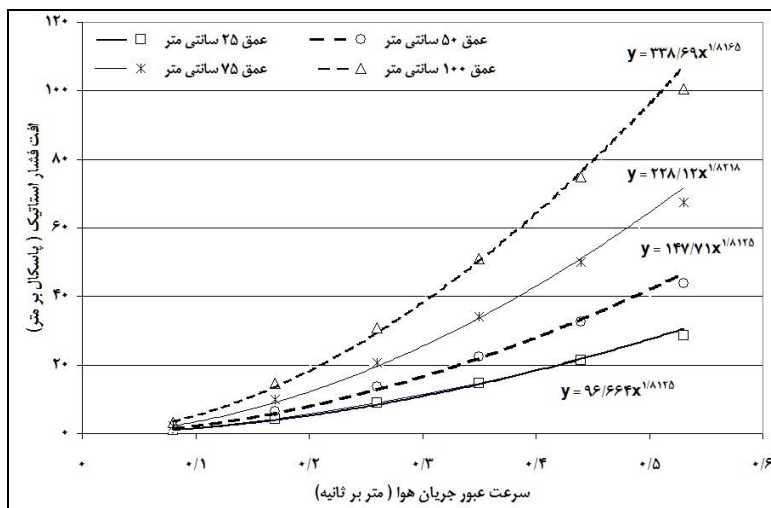
## عمق توده سیب‌زمینی (سانتی‌متر)

سرعت جریان هوا (متر بر ثانیه)	رقم آگریا				رقم مارفونا			
	۲۵	۵۰	۷۵	۱۰۰	۲۵	۵۰	۷۵	۱۰۰
۰/۰۸	۰/۹۸	۱/۵۰	۲/۲۵	۳/۴۰	۰/۹۲	۱/۴۰	۲/۱۵	۳/۲۳
۰/۱۷	۴/۵۳	۶/۹۰	۱۰/۴۷	۱۵/۶۵	۴/۲۵	۶/۵۳	۹/۸۲	۱۴/۷۹
۰/۲۶	۹/۴۵	۱۴/۳۶	۲۱/۶۹	۳۲/۳۵	۸/۸۸	۱۳/۵۷	۲۰/۶۲	۳۰/۸۸
۰/۳۵	۱۵/۵۵	۲۳/۶۳	۳۵/۶۹	۵۳/۲۰	۱۴/۶۱	۲۲/۳۳	۳۴/۱۷	۵۱/۹۴
۰/۴۴	۲۲/۷۹	۳۴/۶۴	۵۲/۳۱	۷۷/۸۳	۲۱/۵۰	۳۲/۷۳	۵۰/۹۳	۷۴/۶۱
۰/۵۳	۳۰/۵۳	۴۶/۴۱	۷۰/۱۰	۱۰۴/۳۱	۲۸/۷۱	۴۴/۶۹	۶۸/۴۴	۱۰۰/۵۷
LSD=۱/۶۶۳					LSD=۱/۵۳۸			

## اندازه‌گیری و مدل‌سازی مقاومت دو رقم سیبازمینی...



شکل ۲- روابط رگرسیونی اثر سرعت هوای در حال گذر از اعماق مختلف توده سیبازمینی رقم آگریا بر میزان افت فشار استاتیک



شکل ۳- روابط رگرسیونی اثر سرعت هوای در حال گذر از اعماق مختلف توده سیبازمینی رقم مارفونا بر میزان افت فشار استاتیک

بر وابستگی ضریب B به شکل کلی و هندسی میوه و سبزیجات غدهای مطابقت دارد.

**اثر درصد مواد خارجی موجود در توده، بر مقاومت به عبور جریان هوای:**

نتایج حاصل از سنجش افت فشار هوا در توده‌های آزمایشی دارای ۰، ۲، ۴ و ۶ درصد

این داده‌ها نشان می‌دهد که با افزایش عمق توده، ضریب A در معادله افزایش یافته اما ضریب B تقریباً بدون تغییر باقی می‌یابد. این نتایج با مقادیر Abram & Fish (1982) و Shahbazi & Rajabipour (2007) مبنی

سیبزمینی، میزان خاک بیشتری سطح به غدها چسبیده و ناهمواری کلی سطح توده بیشتر می‌شود. همچنین خاک و گل چسبیده به غده پس جدا شدن از آن، سبب مسدود شدن مجاري لابه لای غدها شده، بر میزان افت فشار هوا می‌فزایند. در مقادیر ثابت میزان ناخالصی، با افزایش سرعت جريان هوا، بر میزان افت فشار استاتیک افزوده می‌شود. جداول تجزیه واریانس<sup>۱</sup> نیز معنی‌دار بودن اثر تیمارهای سرعت جريان هوا و درصد مواد خارجی را بر میزان افت فشار هوانشان می‌دهد. میزان ضرایب رگرسیونی به دست آمده برای مدل مورد استفاده برای برآشش داده‌ها در هر دو رقم سیبزمینی تحت آزمایش در جدول ۳ آورده شده است. این داده‌ها نشان داد که با افزایش ناخالصی، بر میزان ضریب A افزوده و از مقدار ضریب B در هر دو رقم سیبزمینی کاسته شد. این نتایج با گزارش‌های ارائه (Olsen & Kleinkopf, 2020) لوب و همکاران (Misener, 1986) و میسنر (2003) مطابقت دارد.

وزنی- وزنی خاک و سایر مواد ناخالصی که می‌تواند از سطح مزرعه همراه محصول برداشت و به انبار منتقل شود در جدول ۳ ارائه شده است. مطابق نتایج با افزایش میزان خاک و مواد خارجی موجود در توده سیبزمینی بر میزان افت فشار استاتیک هوا در حال گذر افزوده می‌شود. تقریباً با افزایش هر ۲ درصد ناخالصی، میزان افت فشار در توده محصولات سیبزمینی آگریا و مارفونا به ترتیب ۱/۳۶ و ۱/۳۳ برابر شد. این افزایش از آنجا ناشی می‌شود که ناخالصی‌ها بخشی از فضای لابه‌لای غدها را اشغال و عملاً مجاري عبور هوا محدودتر شده و در نهایت اسباب افت بیشتر فشار هوا فراهم می‌شود. در غدهای آگریا میزان افت فشار به وجود آمده در مقادیر مساوی ناخالصی، به طور متوسط ۸ درصد بیشتر از غدهای مارفونا بود. این وضعیت علاوه بر اختلاف شکل ظاهری، ناشی از ناهمواری‌های بیشتر سطح غدهای رقم آگریا و نیز تعداد و عمق بیشتر چشم‌ها در این رقم نسبت به سیبزمینی رقم مارفونا است. بهاین ترتیب که با افزایش ناهمواری سطح، تعدد و عمق چشم‌های

جدول ۳- اثر درصد مواد خارجی موجود در توده‌های آزمایشی بر تغییرات ضرایب معادله سنجش مقاومت توده به عبور جريان هوا با سرعت ۰/۵ متر بر ثانیه در واحد عمق (متر)

رقم	دانسیته فلهای کیلوگرم بر مترمکعب	% تخلخل	% ناخالصی	ضرایب برآشش شده معادله			$\Delta P / L$ پاسکال بر متر	
				$\Delta P / L = A(V)^B$				
				A	B	$R^2$		
آگریا	۶۲۰	۴۲/۷۹	۰	۳۵۱/۶۸	۱/۸۱۲	۰/۹۹۶	۱۰۴/۳۱	
	۶۳۲	۴۱/۶۷	۲	۴۹۷/۳۱	۱/۸۴۲	۰/۹۹۴	۱۳۸/۷۵	
	۶۴۵	۴۰/۵۰	۴	۶۴۹/۵۴	۱/۷۴۶	۰/۹۹۸	۱۸۴/۷۷	
	۶۵۷	۳۹/۳۸	۶	۸۴۲/۷۲	۱/۷۳۱	۰/۹۹۵	۲۵۳/۸۷	
مارفونا	۵۹۹	۴۳/۲۲	۰	۳۳۸/۶۹	۱/۸۱۶	۰/۹۹۷	۱۰۰/۵۷	
	۶۱۱	۴۲/۱۹	۲	۴۶۴/۵۳	۱/۸۶۳	۰/۹۹۵	۱۲۷/۶۷	
	۶۲۳	۴۰/۹۸	۴	۵۶۸/۳۵	۱/۷۸۰	۰/۹۹۷	۱۶۵/۶۱	
	۶۳۴	۳۹/۸۶	۶	۸۲۱/۳۷	۱/۷۶۹	۰/۹۹۶	۲۴۰/۹۹	

نگهدارنده قدری فشرده شده و متراکم می‌شوند. در این حالت قطر مجاری موجود در لابلای غدد درون مخزن در بخش‌های پایینی کاهش یافته، هوا برای عبور از این مجاری با مقاومت بیشتری رو به رو می‌شود. نکته دارای اهمیت آنکه غده‌های رقم مارفونا به دلیل پوست نازک‌تر و ماده خشک‌کمتر نسبت به ارقام آگریا دچار پلاسیدگی و تغییر فرم بیشتری می‌شوند. همین عامل افت بیشتر فشار استاتیک در توده سیب‌زمینی رقم مارفونا را هنگام از دست دادن رطوبت به خوبی توجیه و توجه کافی به حفظ رطوبت غده‌ها طی دوره نگهداری برای تهویه مناسب‌تر توده انبارشده را یادآوری می‌کند. مقدار ضرایب رگرسیونی به دست آمده برای تابع درجه ۳ تعریف شده برای بیان رابطه درصد رطوبت محصولات تحت آزمایش با میزان افت فشار هوا در جدول ۴ آورده شده است. این نتایج با مقادیر گزارش شده توسط پارک و همکاران (Park *et al.*, 2013) و کارژیل و پرایس (Cargill & Price, 1995) برای محصولات غده‌ای سازگاری دارد.

### اثر درصد رطوبت توده محصولات بر میزان مقاومت به عبور جریان هوا:

نتایج حاصل از سنجش میزان افت فشار هوا در حال عبور از خلال توده‌های تحت آزمایش در جدول ۴ نشان داده شده است. جدول تجزیه واریانس ۱ نیز معنی‌دار بودن اثر تیمار درصد رطوبت محصول بر میزان افت فشار هوا را تائید می‌کند. بر این اساس با کاهش درصد رطوبت غده‌های سیب‌زمینی بر میزان افت فشار هوا در حال عبور افزوده شد. در محدوده رطوبتی مورد آزمایش، به طور متوسط با کاهش هر ۴ درصد رطوبت در غده‌های سیب‌زمینی آگریا و مارفونا میزان افت فشار استاتیک هوا در حال گذر به ترتیب تا ۱/۱۸ و ۱/۲ برابر افزایش یافت (جدول ۴). این تغییرات به افزایش میزان چروکیدگی و افزایش ناهمواری سطح غده‌ها با کاهش درصد رطوبت غده‌ها، از میزان استقامت غده‌ها در برابر فشار وزن توده فوقانی کاسته و غده‌های مستقر در بخش‌های زیرین مخزن

جدول ۴- اثر درصد رطوبت توده‌های سیب‌زمینی آزمایشی بر تغییرات ضرایب معادله سنجش مقاومت توده به عبور جریان هوا در واحد عمق (متر)

محدوده معتبر درصد رطوبت (X)	مدل برآش:					سرعت جریان هوا (متر بر ثانیه)	رقم سیب‌زمینی
	R	D	C	B	A		
۶۵<=X<= ۸۵	۰/۹۹۵	۱/۰۴۸	۴/۲۸۵	- ۰/۰۹۹۱	۰/۰۰۰۶	۰/۱۲	آگریا
	۰/۹۹۶	۱/۷۵۹	۱۰/۶۶۲	- ۰/۲۴۳۸	۰/۰۰۱۴	۰/۲۵	
	۰/۹۹۷	۴/۵۰۸	۱۹/۷۳۸	- ۰/۴۳۳۲	۰/۰۰۲۶	۰/۰/۳۸	
	۰/۹۹۳	۶/۷۶۱	۳۲/۷۲۴	- ۰/۸۵۶۴	۰/۰۰۵	۰/۵۰	
۶۵<=X<= ۸۸	۰/۹۹۴	۱/۲۱۰	۶/۲۷۴	- ۰/۱۴۶۹	۰/۰۰۰۹	۰/۱۲	مارفونا
	۰/۹۹۸	۲/۶۲۶	۱۰/۵۳۳	- ۰/۲۳۱۳	۰/۰۰۱۳	۰/۲۵	
	۰/۹۹۳	۵/۰۱۸	۲۳/۸۶۴	- ۰/۵۳۴۹	۰/۰۰۳۱	۰/۰/۳۸	
	۰/۹۹۷	۸/۴۲۴	۴۵/۰۵۵	- ۰/۰۱۵۱	۰/۰۰۰۵۳	۰/۵۰	

### نتیجه‌گیری

- با کاهش هر ۴ درصد رطوبت برای سیب‌زمینی آگریا و مارفونا میزان افت فشار استاتیک هوای در حال گذر از خلال توده به ترتیب ۱/۱۸، ۱/۲۰، ۱/۲۰ برابر می‌شود.

آگاهی از میزان افت فشار استاتیک در توده‌های سیب‌زمینی نگهداری شده در انبار علاوه بر افزایش اطمینان از تهویه کامل توده انبار شده، مانع از به کارگیری دمنده‌های با دبی بالاتر از میزان نیاز و یا فعال نگه داشتن غیرضروری این ادوات برای زمان‌های طولانی‌تر خواهد شد؛ که در هر حال علاوه بر صرفه‌جویی در مصرف انرژی و استهلاک کمتر سیستم تهویه، افت رطوبتی کمتر و ماندگاری طولانی‌تر توده ذخیره شده را نیز در پی خواهد داشت (Dobrzański & Rybczyński, 2014; McCabe *et al.*, 2018)

بر اساس نتایج حاصل از اندازه‌گیری میزان افت فشار هوای توده‌های سیب‌زمینی رقم آگریا و مارفونا در سرعت‌های ۰/۰۸ تا ۰/۵۳ متر بر ثانیه جریان هوای درصد مواد ناخالصی صفر تا ۶ درصد و درصد رطوبت نسبی ۸۸ تا ۶۵ درصد نکات زیر قابل ارائه می‌باشد:

- میزان افت فشار در سیب‌زمینی رقم آگریا ۶ الی ۶ درصد بیشتر از مارفونا است.
- با افزایش سرعت جریان هوای میزان افت فشار استاتیک هوای با شبی نزولی، افزایش می‌یابد.
- با افزایش هر ۲۵ cm، به عمق توده سیب‌زمینی آگریا و مارفونا، افت فشار هوای به ترتیب ۱/۴۹ و ۱/۵۳ برابر می‌شود.
- با افزایش هر ۲٪ ناخالصی، میزان افت فشار در توده سیب‌زمینی آگریا و مارفونا به ترتیب ۱/۳۶ و ۱/۳۳ برابر می‌شود.

### تعارض منافع

نویسنده در انتشار این مقاله از اخلاق نشر تبعیت کرده و از موارد سوء اخلاق از جمله سرقت ادبی، سوء رفتار، جعل داده‌ها و یا ارسال و انتشار دوگانه، پرهیز نموده و منافع تجاری در این راستا وجود ندارد.

### مراجع

- ABE Standards. 2007. Resistance to airflow of grains, seeds, other agricultural products, and perforated metal sheets. ASAE, St. Joseph, MI. D272.3.
- Abram S, C.F. and Fish, Jr. 1982. Airflow resistance characteristics of bulk piled sweet potatoes. Transactions Of The ASAE. 25 (4): 1103-1106.
- Adinath, E. K., Subir, K. C., Dilip, A. P., and Kalyani, G. 2019. Airflow resistance and pressure drop behavior in different conditions of bulk-stored onion and its dynamic modeling. Journal of Food Process Engineering. 42(5): 130-141.
- Anon. 2018. Agricultural statistics of Hamadan province, Hamadan Agricultural Organization Publications. Hamedan, Iran (In Farsi).
- A.S.A.E Standard. 1998. Resistance to airflow Throgh The grains, seeds, tubers and perfected metal sheets. D272.3. S.t.Joseph. MI: 49058 :371-375.
- Audu, J., Awulu1, O., and Anyebe, S.P. 2018. Modeling and optimization of airflow resistance through a dry bed of Bambara nuts. Agricultural Engineering International. 20(4):169-177.

اندازه‌گیری و مدل‌سازی مقاومت دو رقم سیب‌ازمینی...

- Bala, B. K. 2016. Airflow resistance and fans. In Drying and Storage of Cereal Grains, eds. B. K.Bala, ch: 5, 81–106. Science Publishers Inc., Enfield, New Hampshire 03748, USA.
- Bern, C.J., and Charity, L.F. 1998. Air flow resistance characteristics of corn as influenced by bulk density. ASAE: paper No: 75-3510.
- Cargill, B.F., and Price, K.C. 1995. Ventilation system performance in michigan bulk potato storages. ASAE paper No: 85-4037. St. Joseph, MI:ASAE.
- Dobrzański, B and Rybczyński, R. 2014. Physical Properties of Raw Materials and Agricultural Products. Springer, Dordrecht Publication. Online ISBN: 978-90-481-3585-1.
- Horwits, W. 2000. Association of Official Analytical Chemists International (AOAC). Gaithersburg, Maryland, U.S.A.
- Jekayinfa, S. 2006. Effect of Airflow Rate, Moisture Content and Pressure Drop on the Airflow Resistance of Locust Bean Seed. Agricultural Engineering International. 12(1):1-9.
- Lope, T., Kienholz, J., Marshall, E., and Hong, Q. 2003. Airflow Resistance of Sugarbeet. Journal of Sugar Beet Research. 40(3): 67-86.
- McCabe, W.L., Julian, S., and Harriot, P. 2018. Unit operation of chemical Engineering. 7<sup>th</sup> Edition, MC Graw – Hill publisher. New York, USA.
- Misener, G.C.1986. Airflow resistance due to soil on bulk potatoes. Canadian Agricultural Engineering. 28(1):43-44.
- Olsen, N. and Kleinkopf, G. 2020. Storage management. In: Stark, J. C., Thornton, M., and Nolte, P.(Ed) Potato Production Systems. Springer International Publishing. Gewerbestr 11, 6330 Cham Switzerland.
- Park, J. M., Kim, G.s., Kwon, S.H., and Chung, S.W. 2013. Development of Post-harvest bulk handling system of onions (I) - Characteristics of friction and airflow resistance. Journal of the Faculty of Agriculture Kyushu University. 58(1): 87-92.
- Rumsey, T. 1989. Moisture change in bulk walnut storage. A.S.A.E Paper No: 891-6581.
- Shahbazi. F., and Rajabipour, A. 2007. Resistance of Potatoes to Airflow. Journal of Agricultur Science and Technology. 10(1):1-9.
- Shedd, C.K. 1953. Resistance of grains and seeds to airflow. Agricultural Engineering. 34 (9):616-619.
- Shmyryova, E. 2018. Airflow resistance of sugar beets. ASAE. Paper No: 996059.
- Stirnimann, E.J., and Bates, E.N. 1931. Tests on resistance to passage of air Throgh rough rice in a deep bin. Agricultural Engineering. 125(5):145-148.
- Teixeira, D. L., De Matos, E., and De Castro, M. 2015. Resistance to forced airflow through layers of composting organic material. Waste Management, 36(1): 57–62.

## Measurement and Modeling of Airflow Resistance in Two Potato Varieties Pile

F. Goodarzi\*

\* Corresponding Author: Assistant professor, Department of AERI, Research and education Center of Agriculture and Natural Resources of Hamedan. Agricultural Research, Education and Extension Organisation (AREEO). Hamedan, Iran. Email: goodarzifarzad@gmail.com

Received: 30 November 2019, Accepted: 27 July 2021

<http://doi: 10.22092/fooder.2021.128571.1248>

### Abstract

The rate of static pressure drop of air passing through the mass of agricultural products is one of the basic data for selecting the fan used in aeration or dryer systems. In this study, the amount of static air pressure drop through the masses of Agria and Marfona cultivars was measured using a simulator device consisting of an air compressor, a rotameter, a cylindrical bin, and a U-shaped barometer and their regression relationship with some parameters such as depth of mass, moisture content and percentage of unwanted materials (soli &, etc.) were defined by using of Shedd's model. According to these tests: As the air velocity increases from 0.085 to 0.53 (m/s), the static air pressure drop increases too. By each 25 cm increase in the depth of Agria and Morfona potatoe piles, the static pressure will be dropped by 1.49 and 1.53 times respectively. With each 2% increase of soil and other impurities in the potato pile, the rate of air pressure drop in the potato mass of Agria and Marfona increases 1.36 and 1.33, respectively. At similar airflow rates, potatoes with higher moisture content showed fewer static pressure drops. The airflow resistance of the Agria potato piles measured 4 to 6% more than the Marfona cultivar, at the same condition.

**Keywords:** Airflow, Static pressure drop, Potato, Depth, Moisture.